

FIG. 1

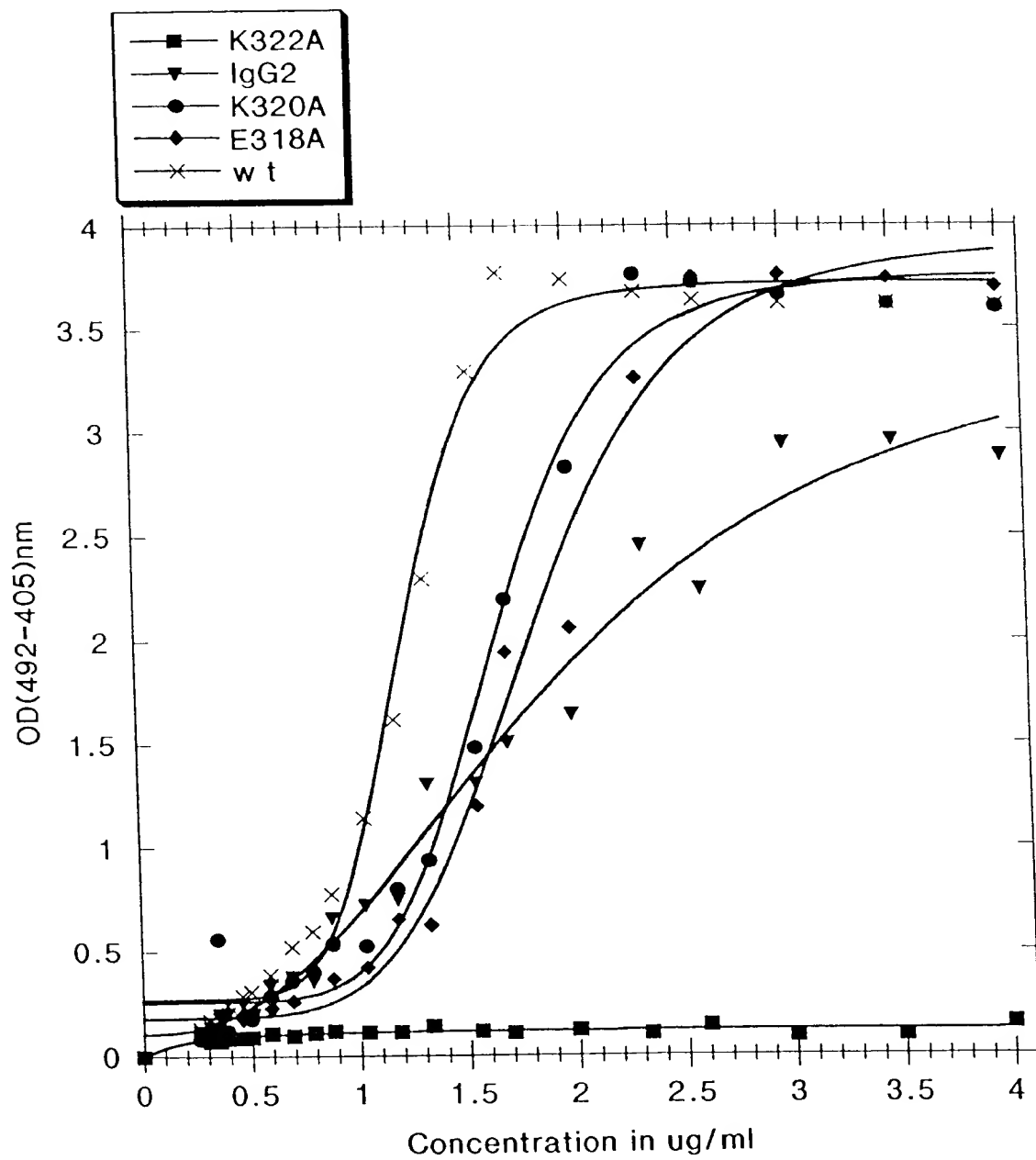


FIG. 2

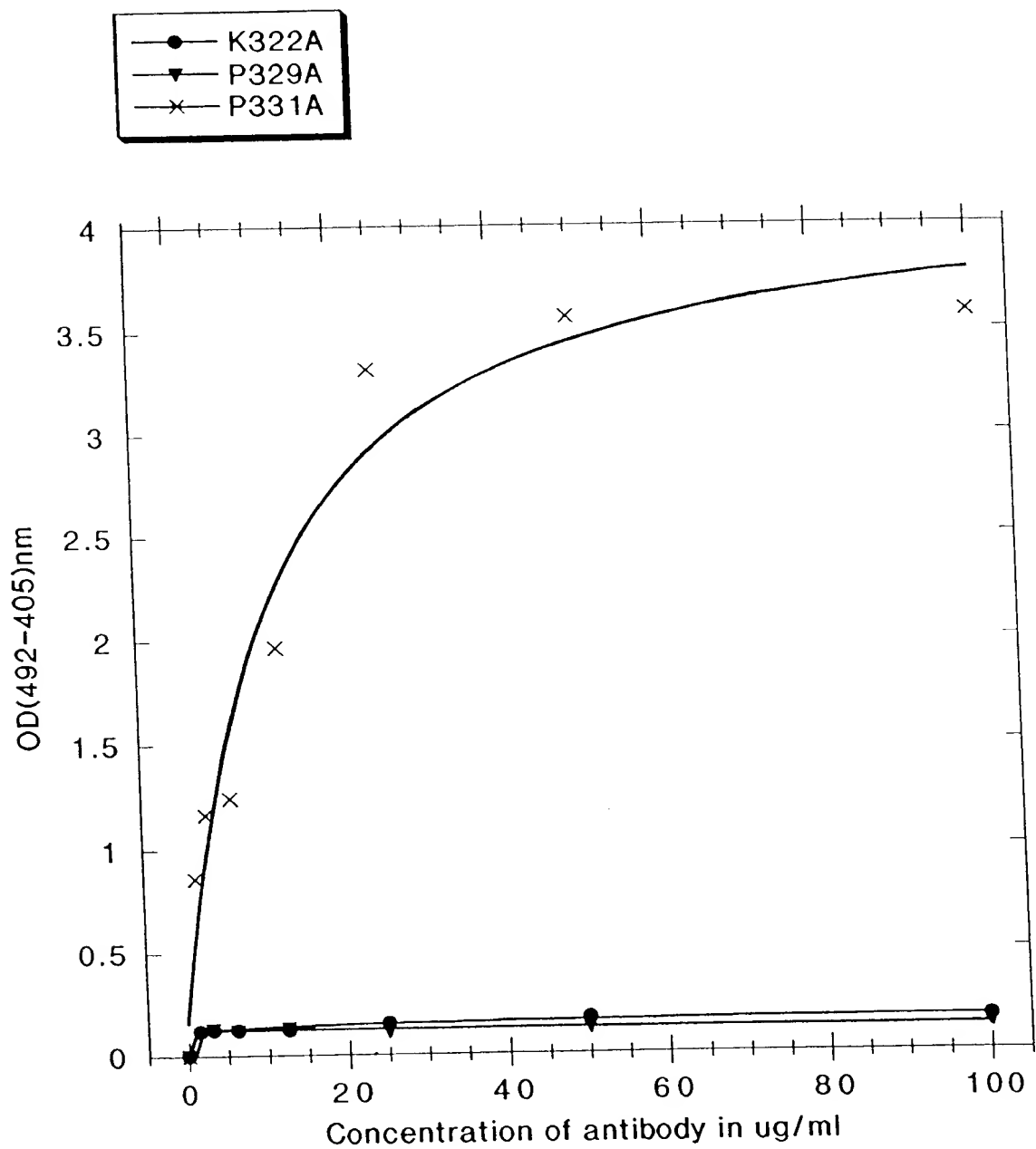


FIG. 3

FIG. 4A (E27) - Light Chain

DIQLTQSPSS	LSASVGDVRT	ITCRASKPVD	GEGDSYLNWY	QQKPGKAPKL	LIYAASYLES	GVPSRFSGSG
SGTDFTLTIS	SLOPEDFATY	YCQQSHEDPY	TFGQGTKVEI	KRTVAAPSVF	IFPPSDEQLK	SGTASVVCLL
NNFYPREAKV	QWKVDNALQS	GENQESVTEQ	DSKDSSTYSL	STLTLSKADY	EKKKVVACEV	THQGLSSPVT
KSFNRGEC						

FIG. 4B (E27) - Heavy Chain

EVQLVESGGG	LVQPGGSLRL	SCAVSGYSIT	SGYSWNWIRQ	APGKGLEWVA	SIKYSGETKY	NPSVKGRITI
SRDDSKNTFY	LQMNSLRAED	TAVYICARGS	HYFGHWHFAV	WGQGLVTVS	SASTKGPSVF	PLAPSSKSTS
GGTAALGCLV	KDYFPEPVTI	SWNSGALTSG	VHTFPAVLQS	SGLYSLSSV	TVPSSSLGTQ	TYICNVNHKP
SNTKVDKKVE	PKSCDKHTC	PPCPAPELLG	GPSVFLFPPK	PKDTLMISRT	PEVTCVVVDV	SHEDPEVKFN
WYVDGVEVHN	AKTKPREEQY	NSTYRVVSVL	TVLHQDWLNG	KEYCKKVSNK	ALPAPIEKTI	SKAKGQPREP
QVYTLPPSRE	EMTKNQVSLT	CLVKGFYPSD	IAVEWESNGQ	PENNYKTTTP	VLDSDGSEFL	YSKLTVDKSR
WQQGNVFSCS	VMHEALHNHY	TQKSLSLSPG	K			

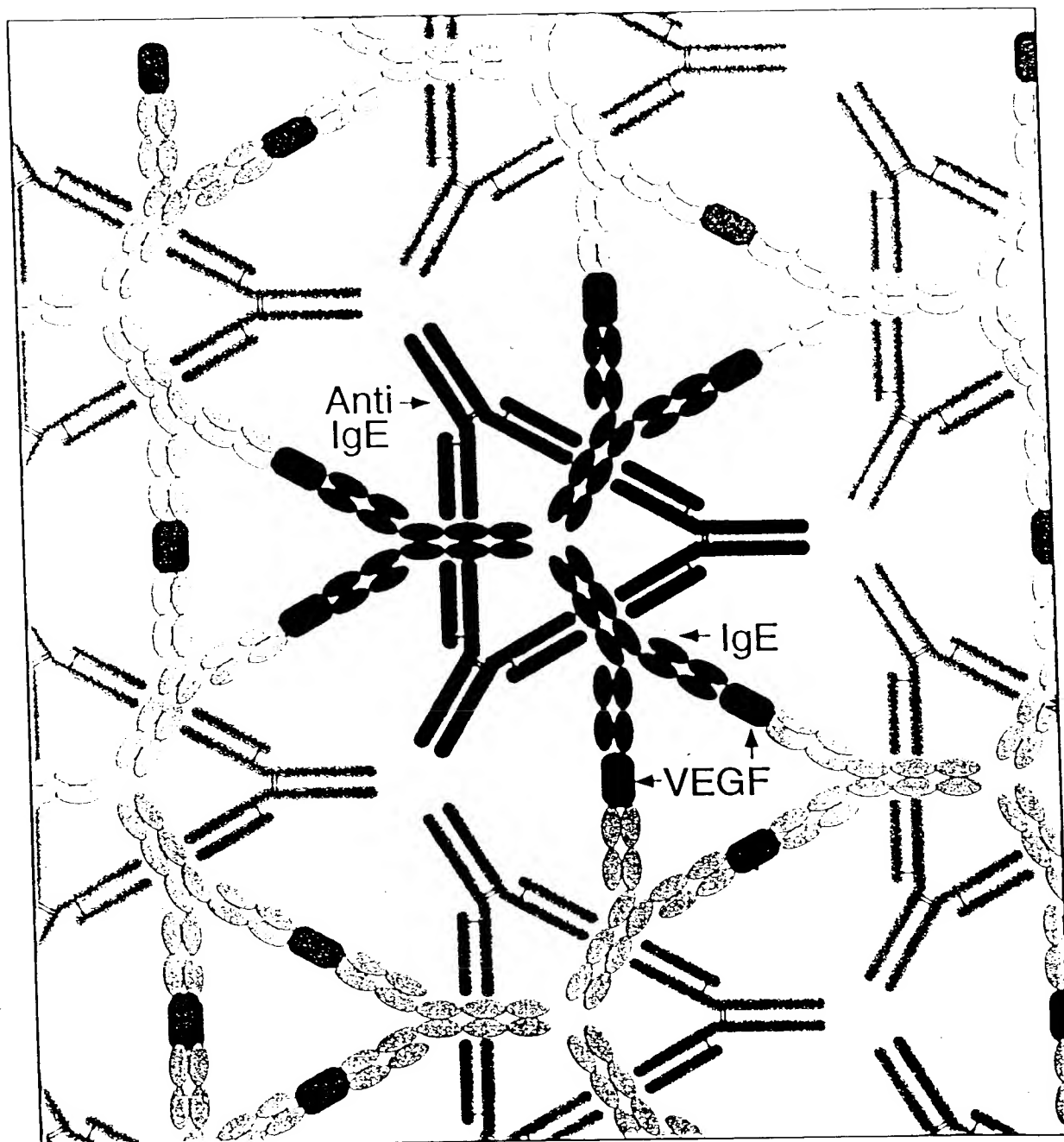


Fig. 5

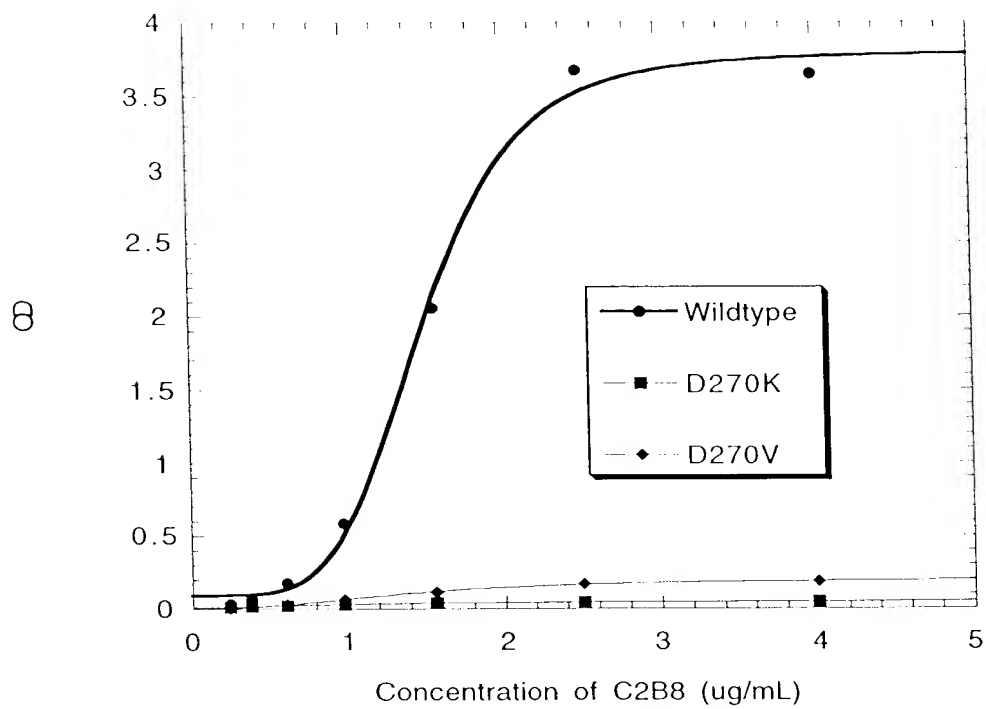


FIG. 6

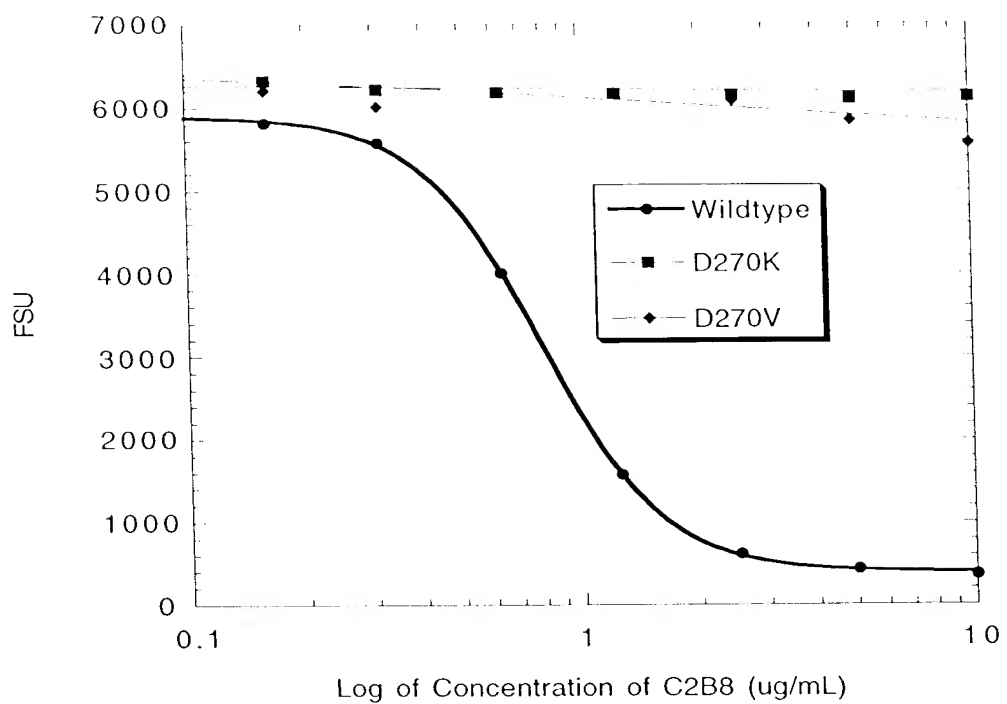


FIG. 7

- K274A
- S324A
- ◇ K326A
- × K334A
- † P329A
- P331A
- E333A
- ◆ 293-Wt-C2B8
- CHO-Wt-C2B8
- ▲ Y278A
- T335A

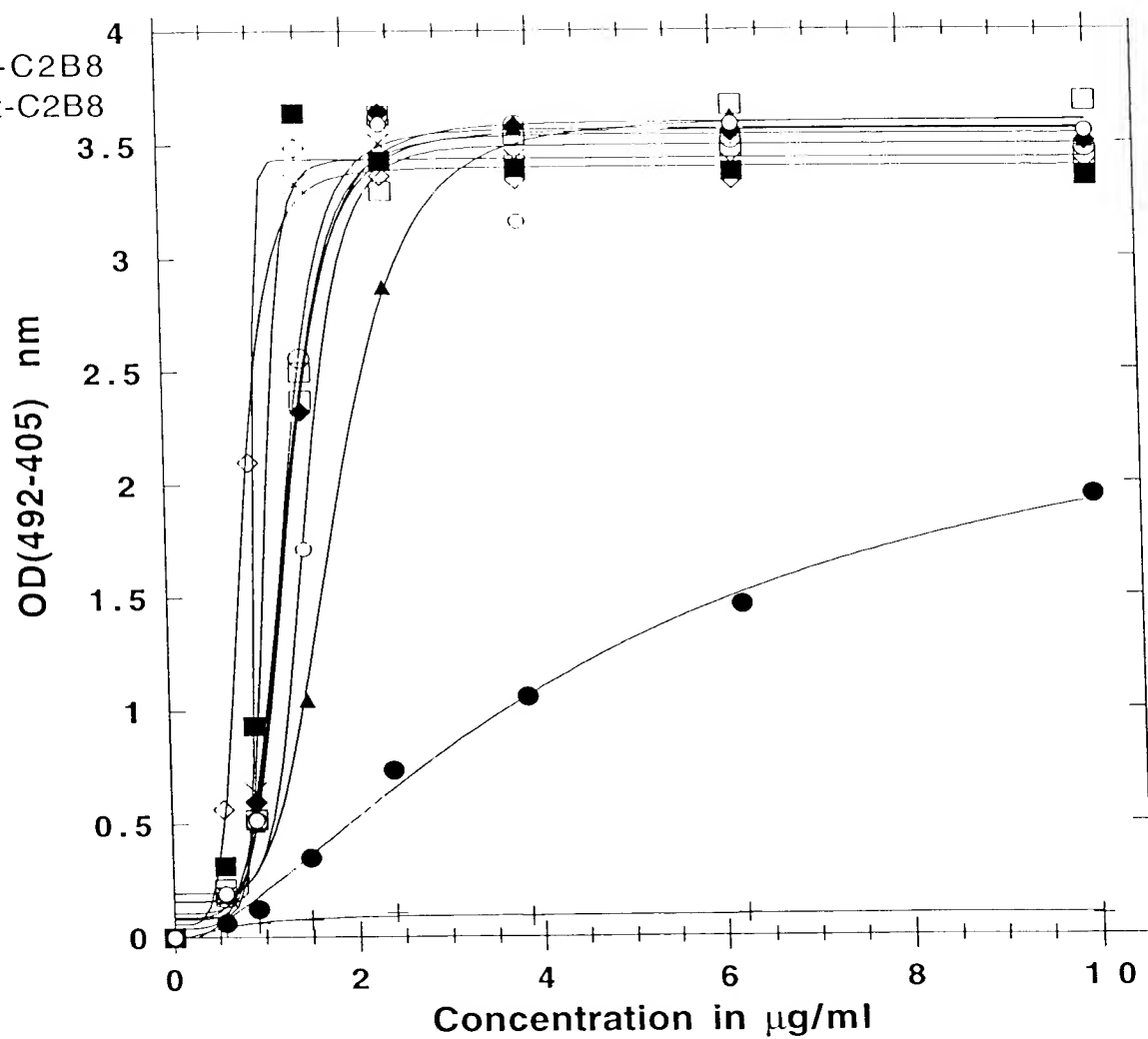


FIG. 8

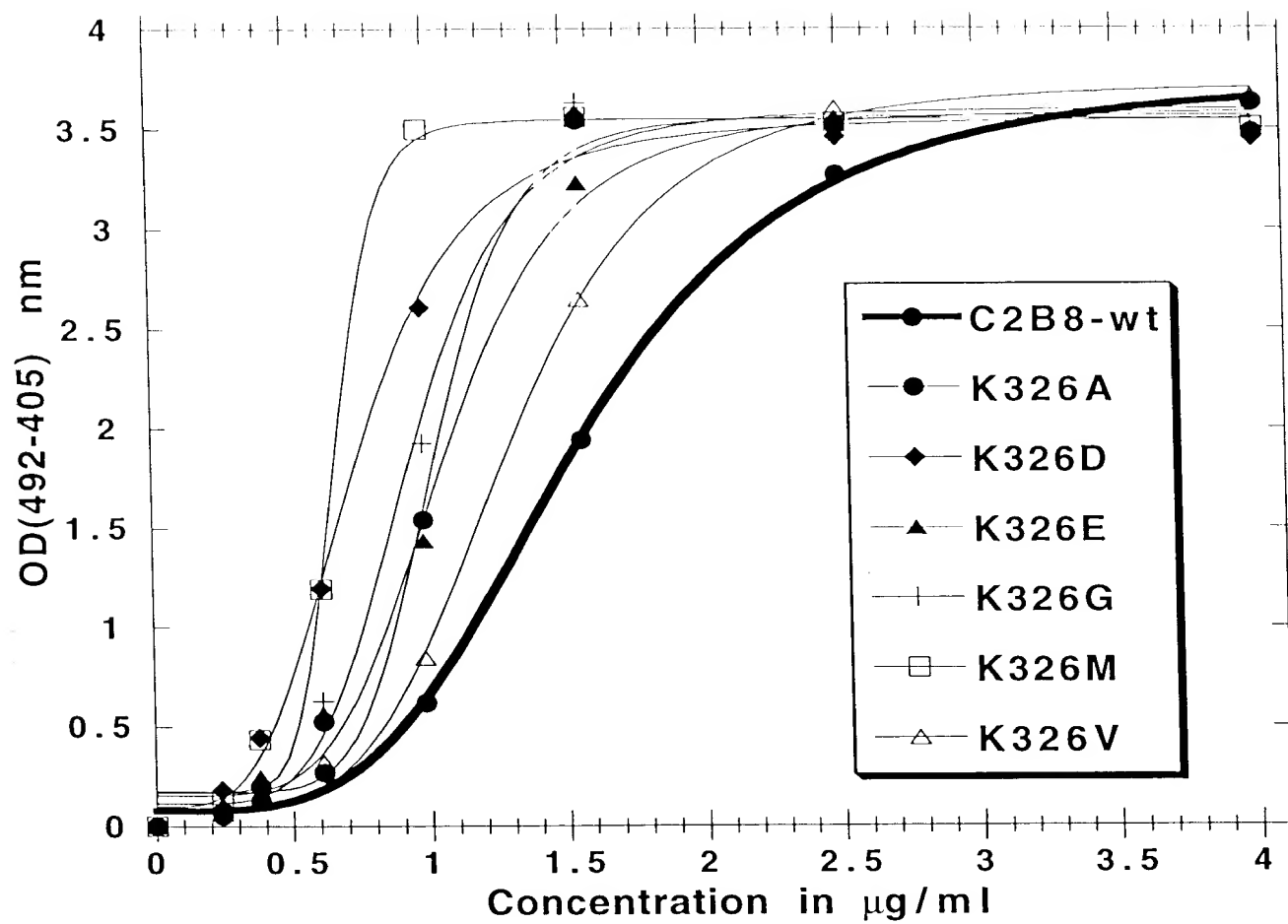


FIG. 9

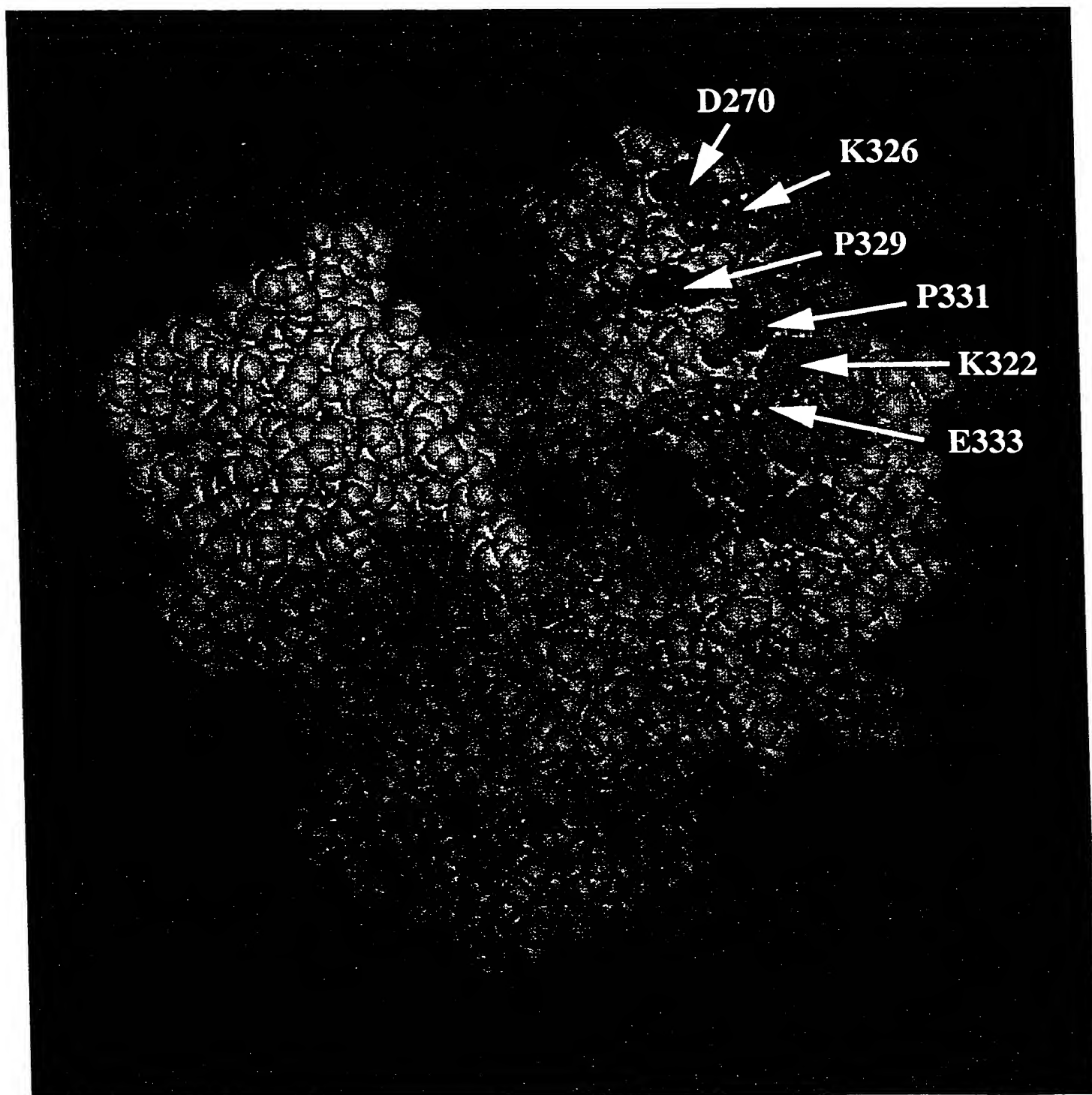


FIG. 10

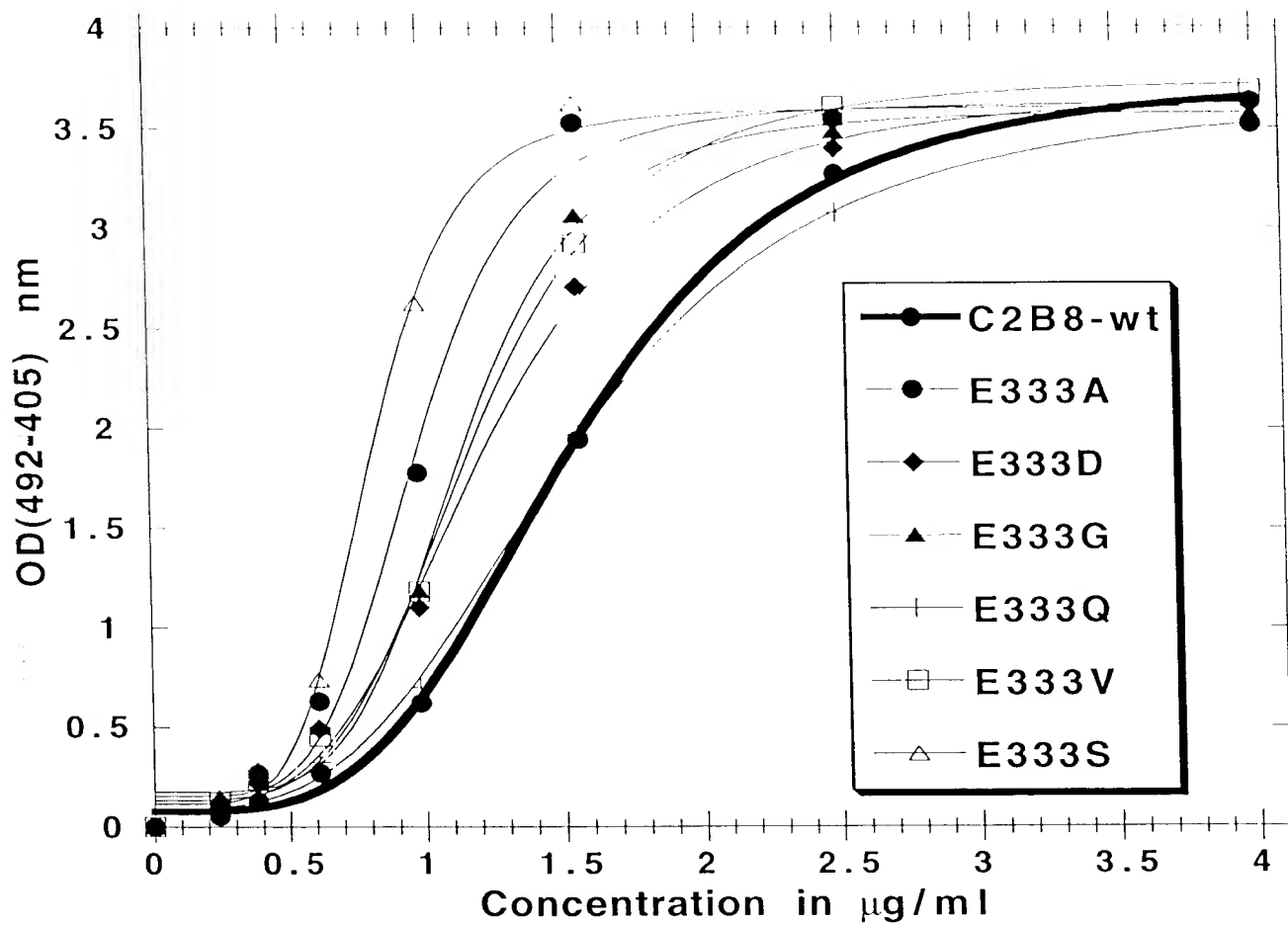


FIG. 11

8

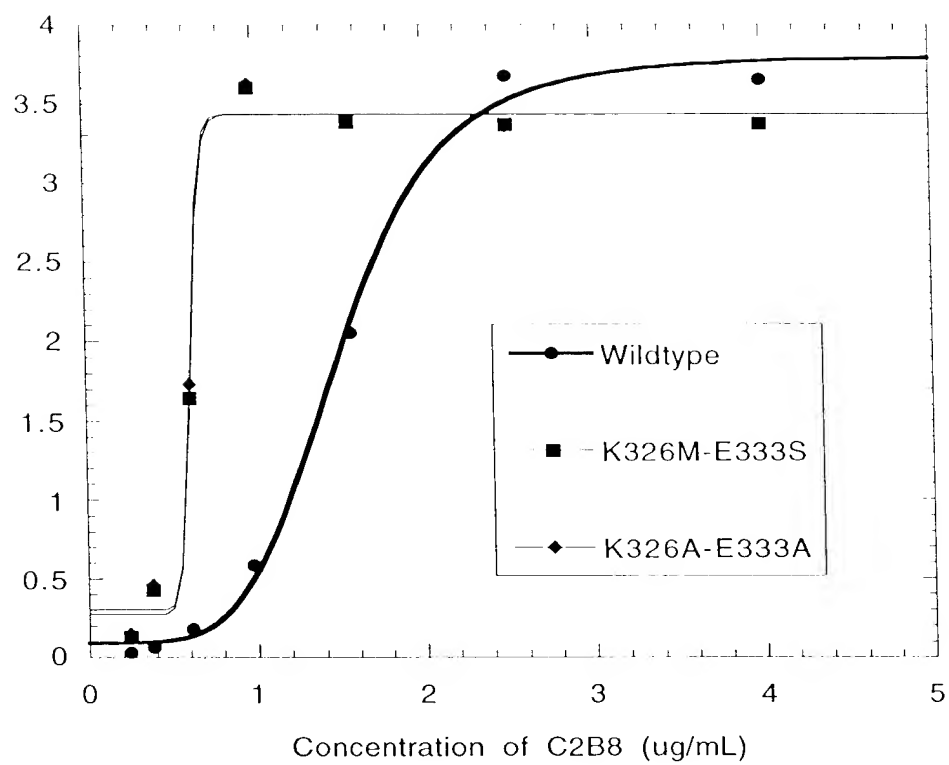


FIG. 12

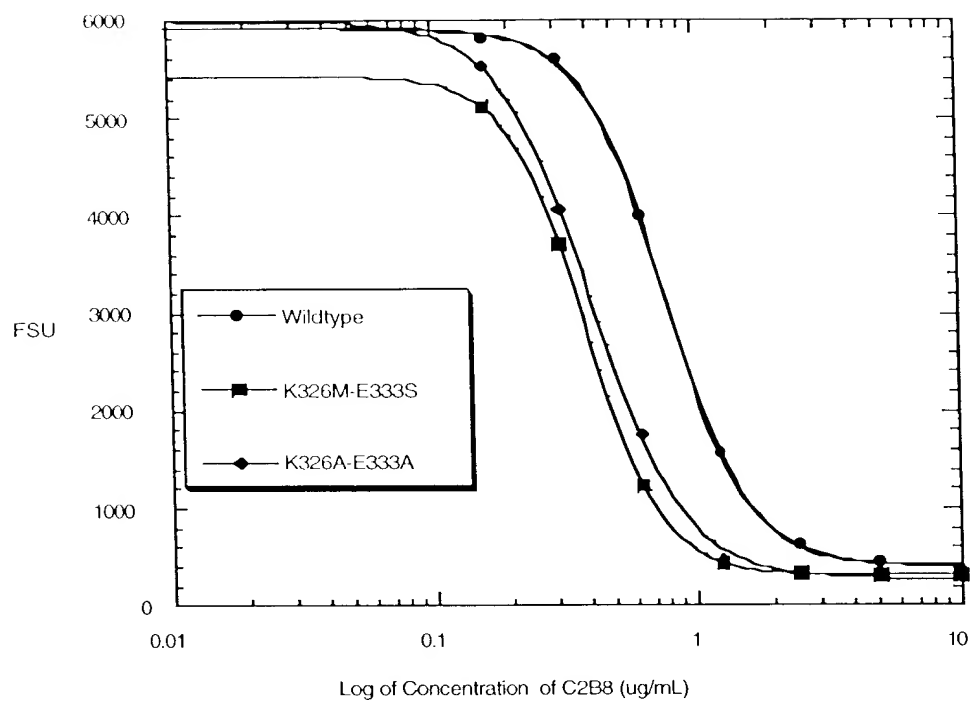


FIG. 13

EC50 of wt-C2B8 = 1.54
 EC50 of A327g (C2B8) = 1.08

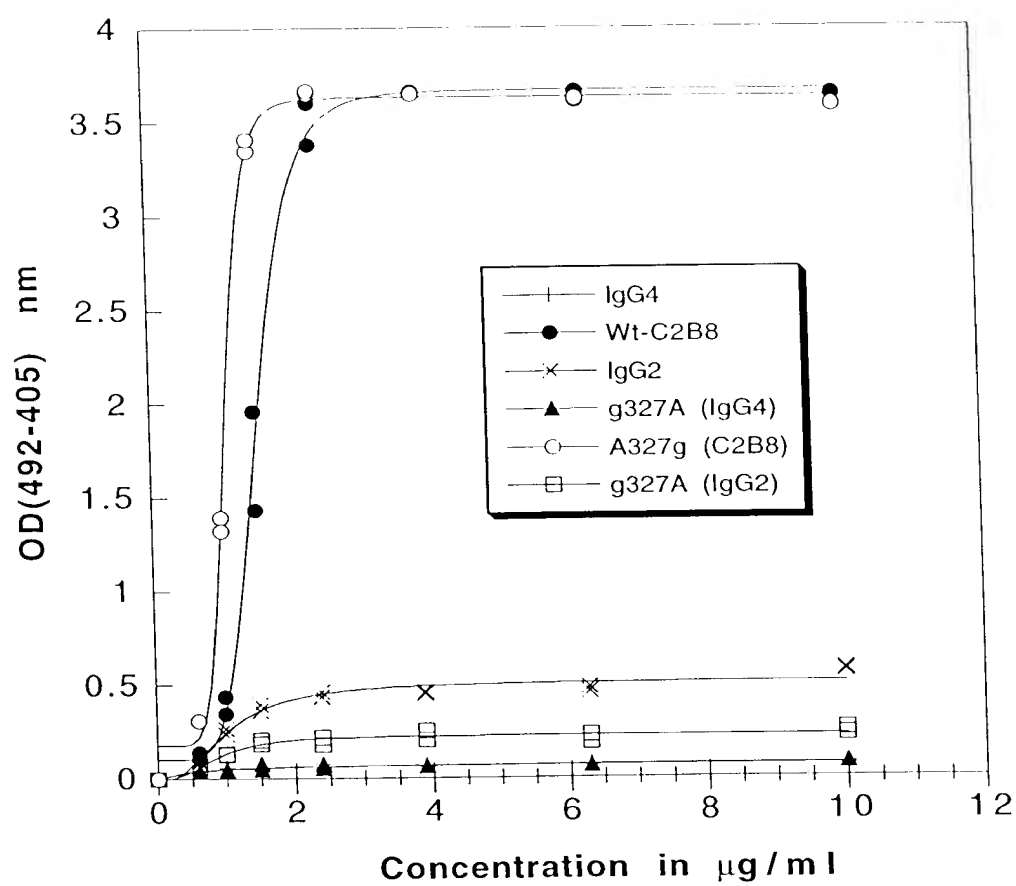


FIG. 14

Fc γ RIIB

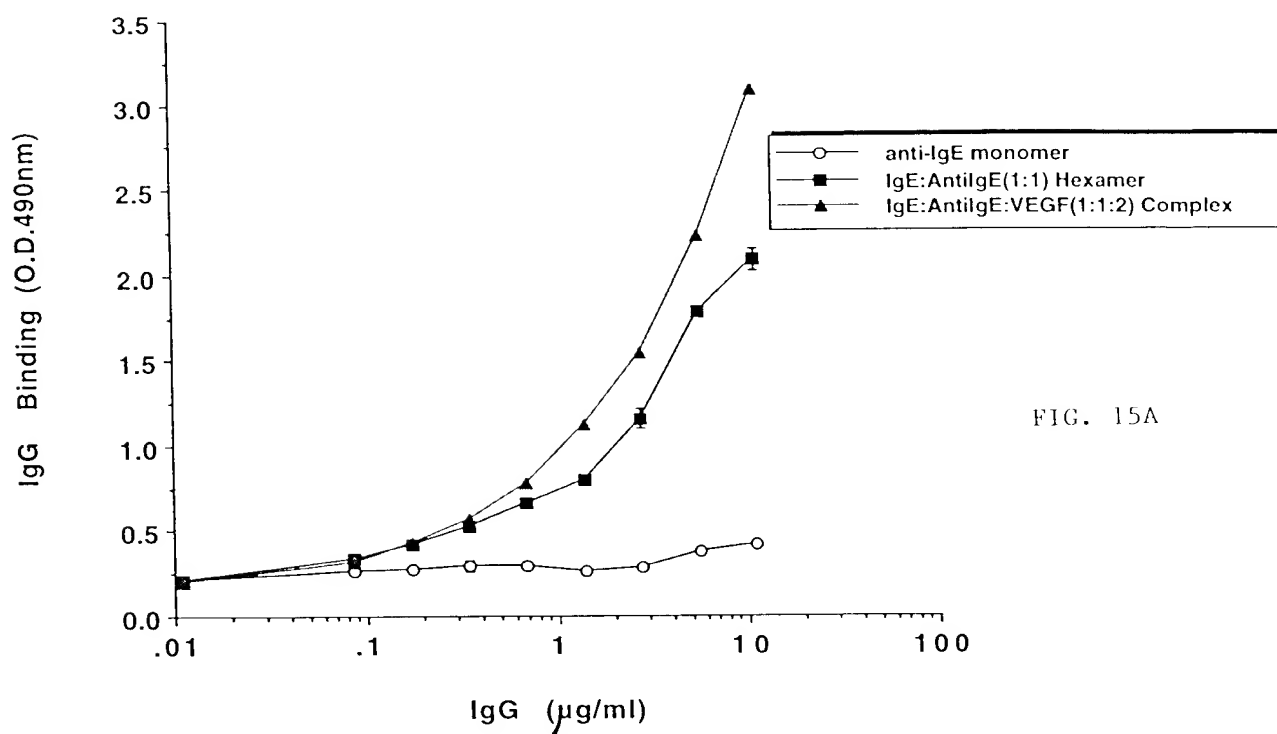


FIG. 15A

Fc γ RIIA

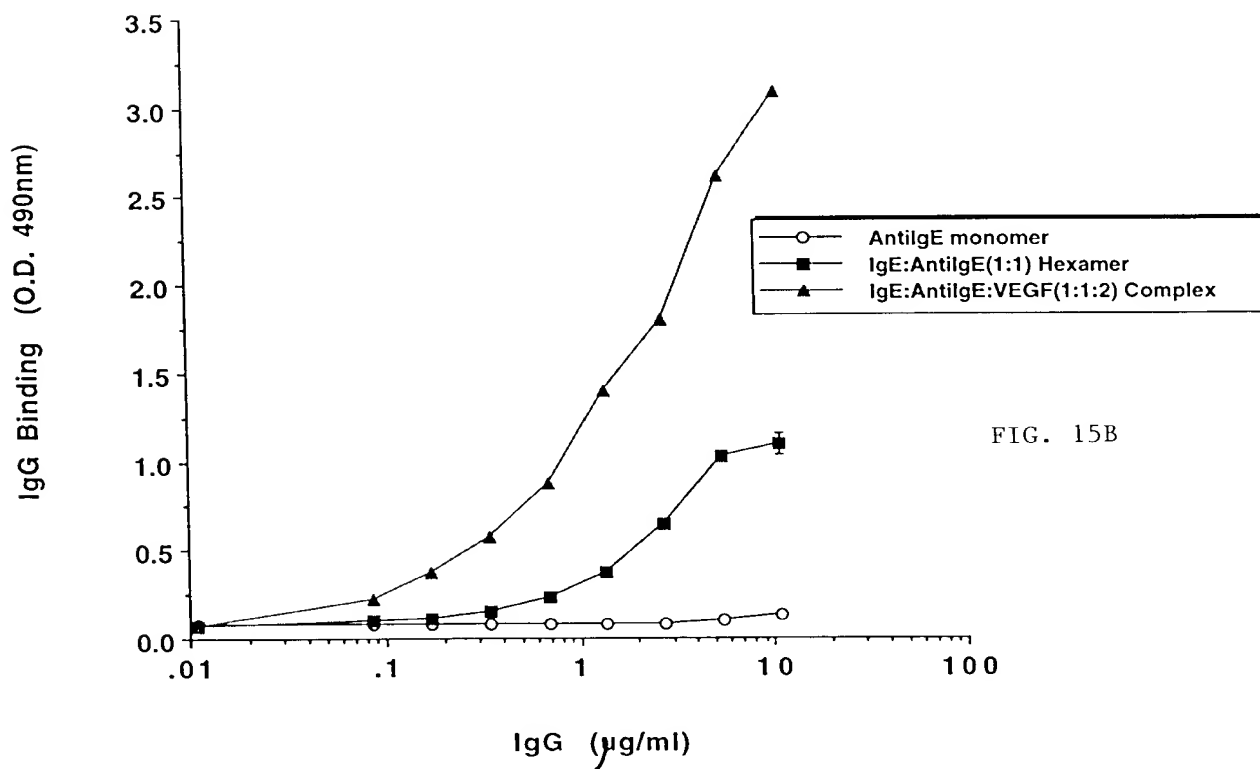


FIG. 15B

FCγRIIA

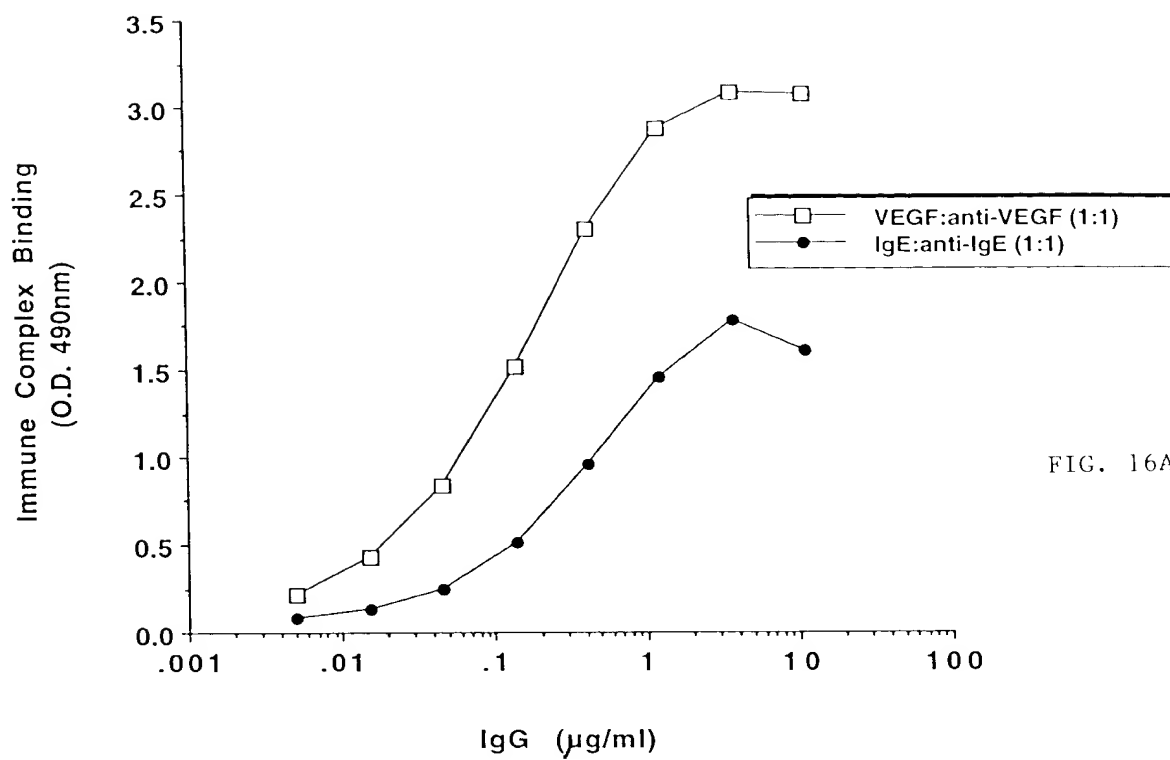


FIG. 16A

FCγRIIA

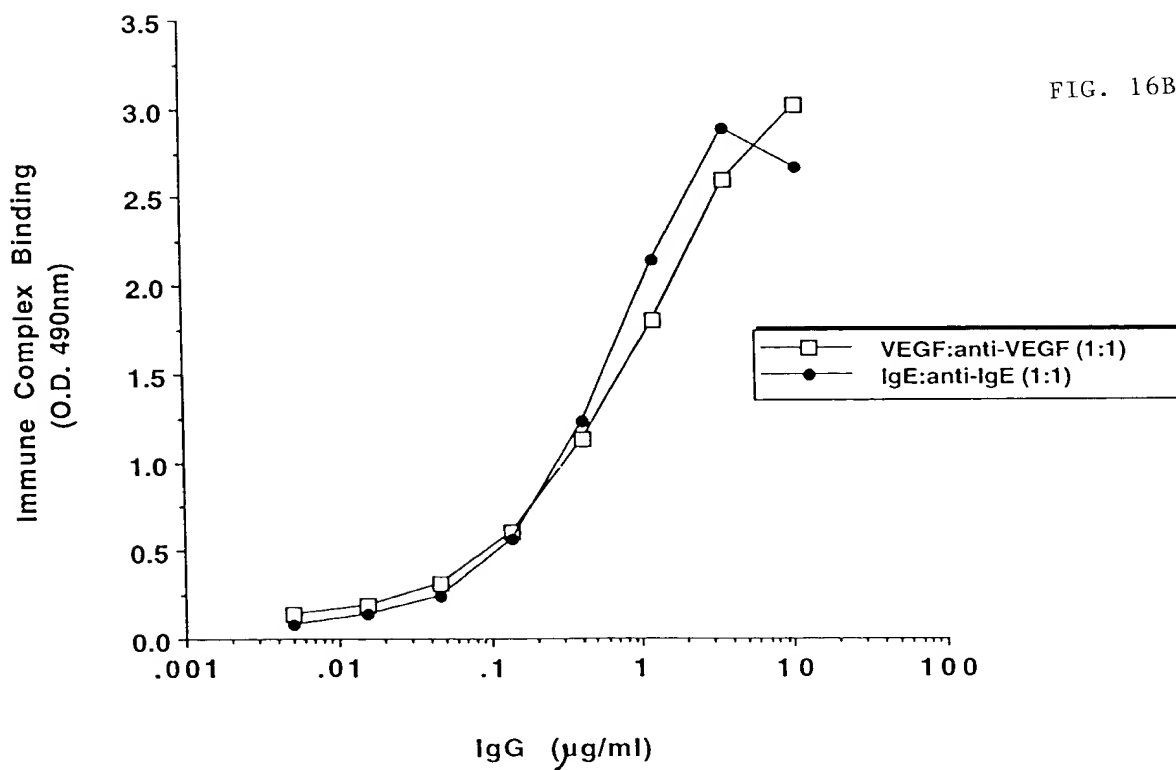


FIG. 16B

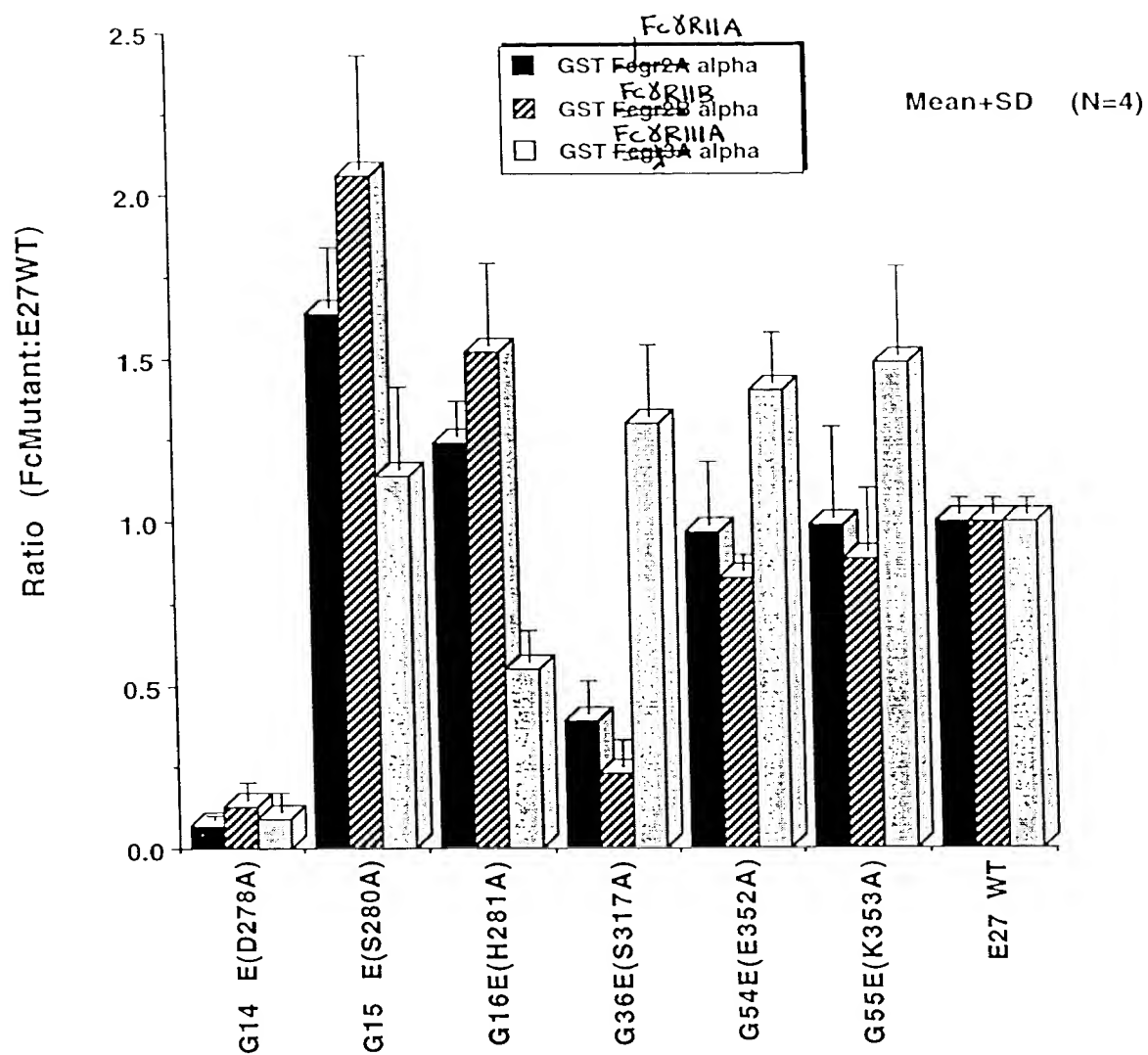


FIG. 17

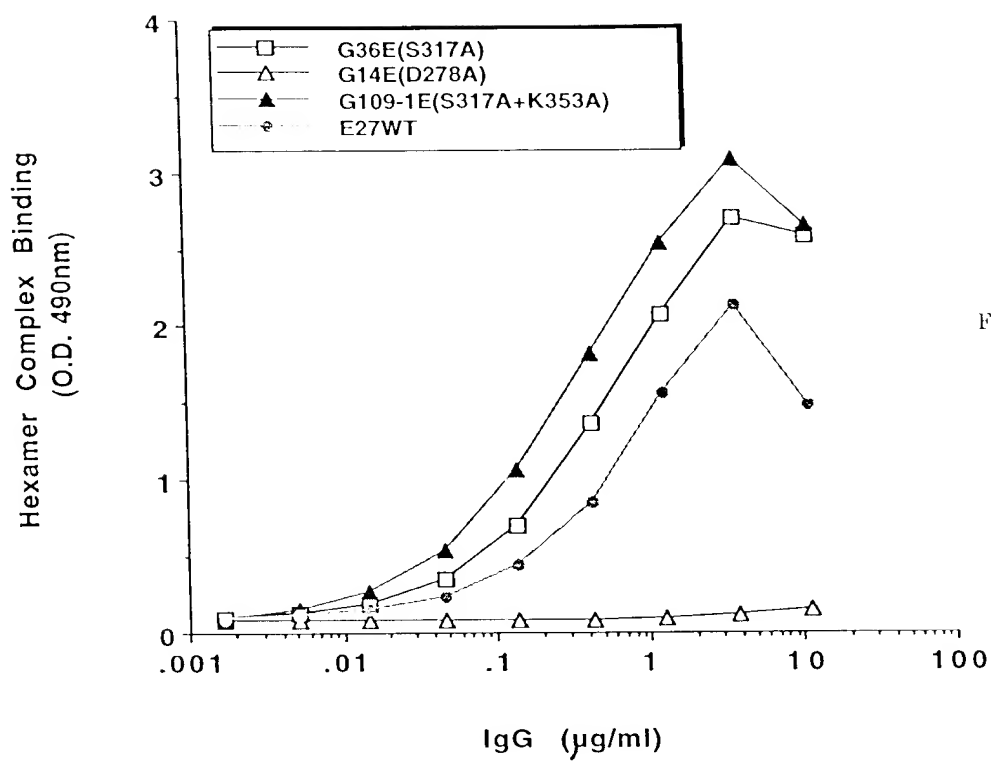


FIG. 18A

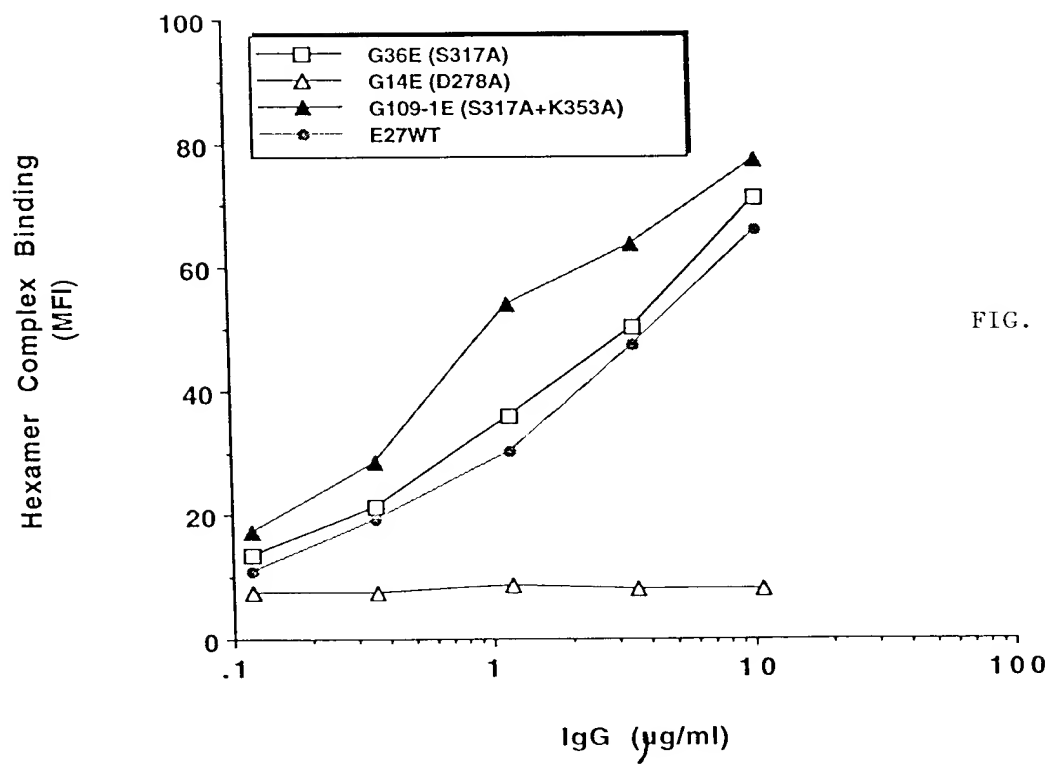


FIG. 18B

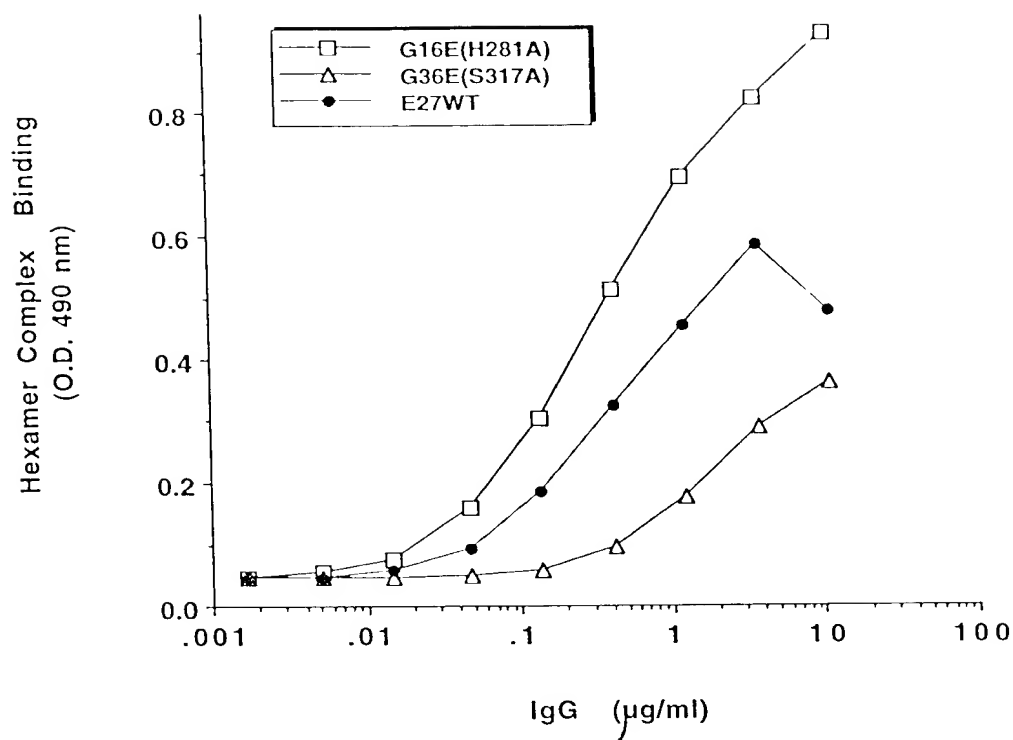


FIG. 19A

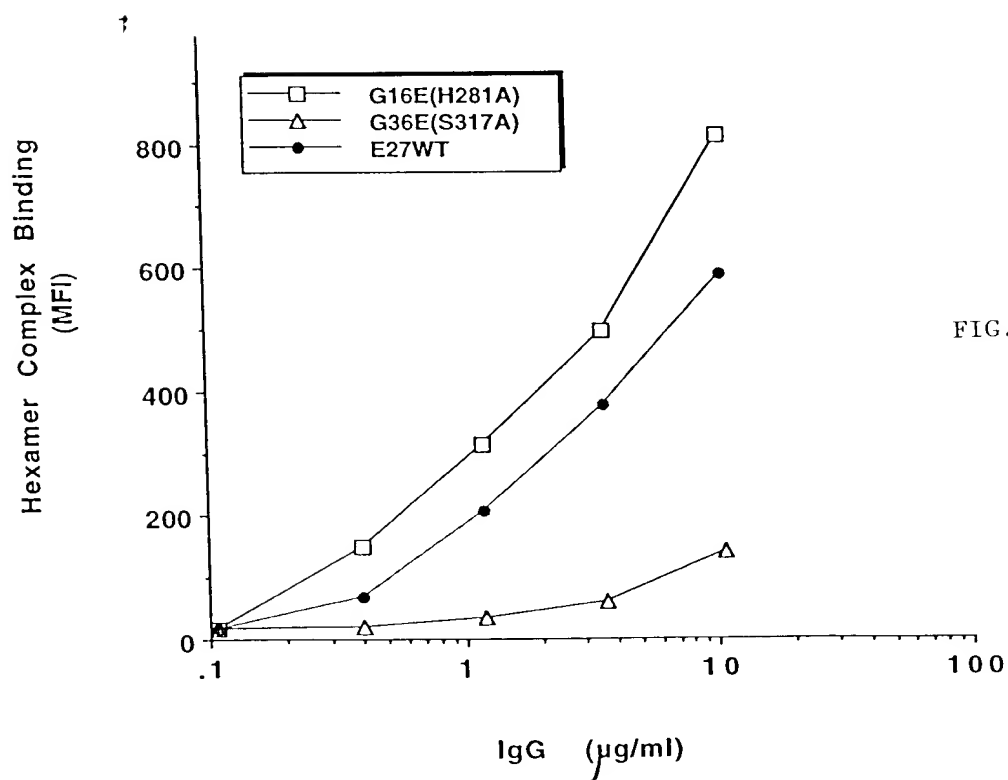


FIG. 19B

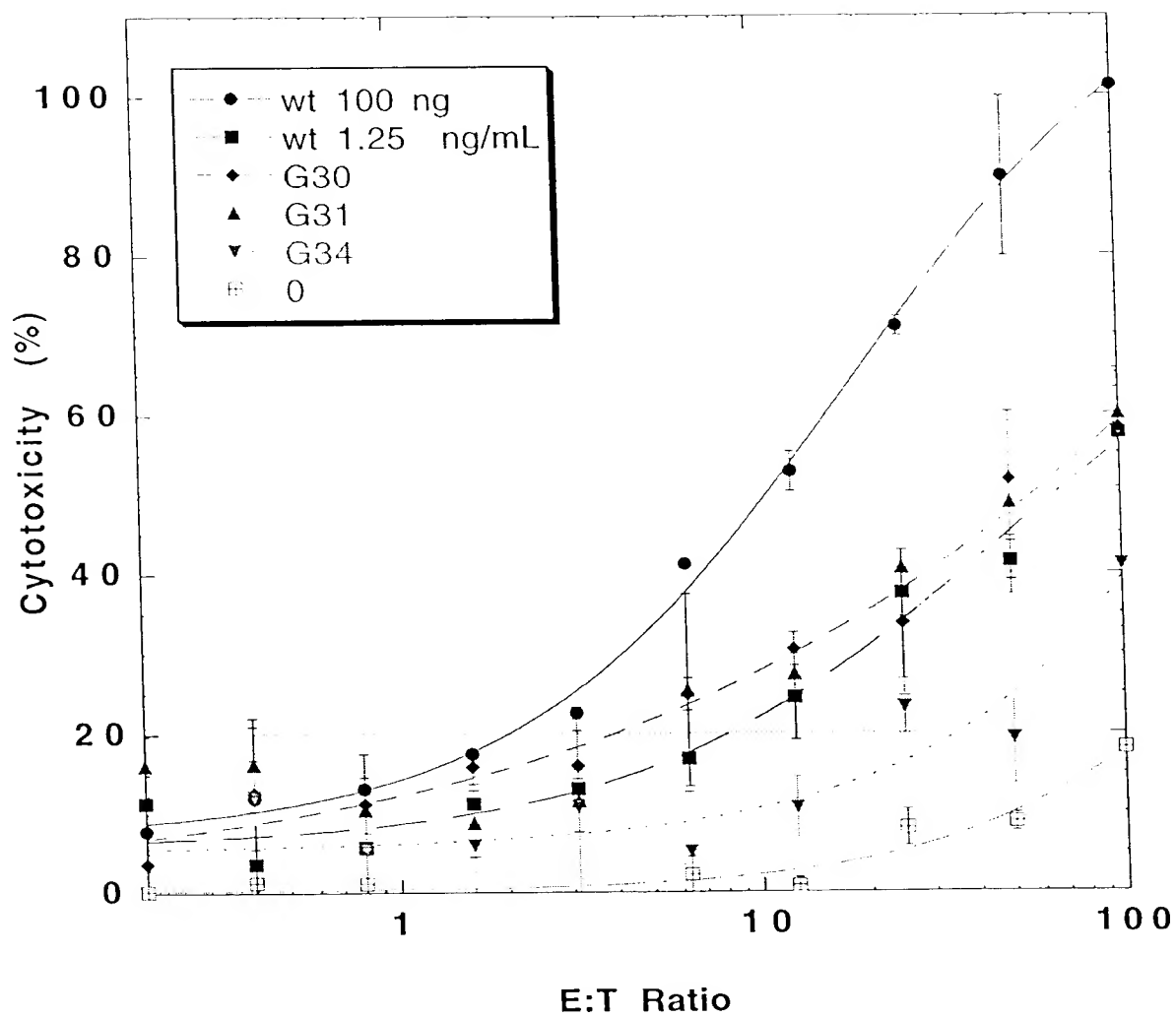


FIG. 20

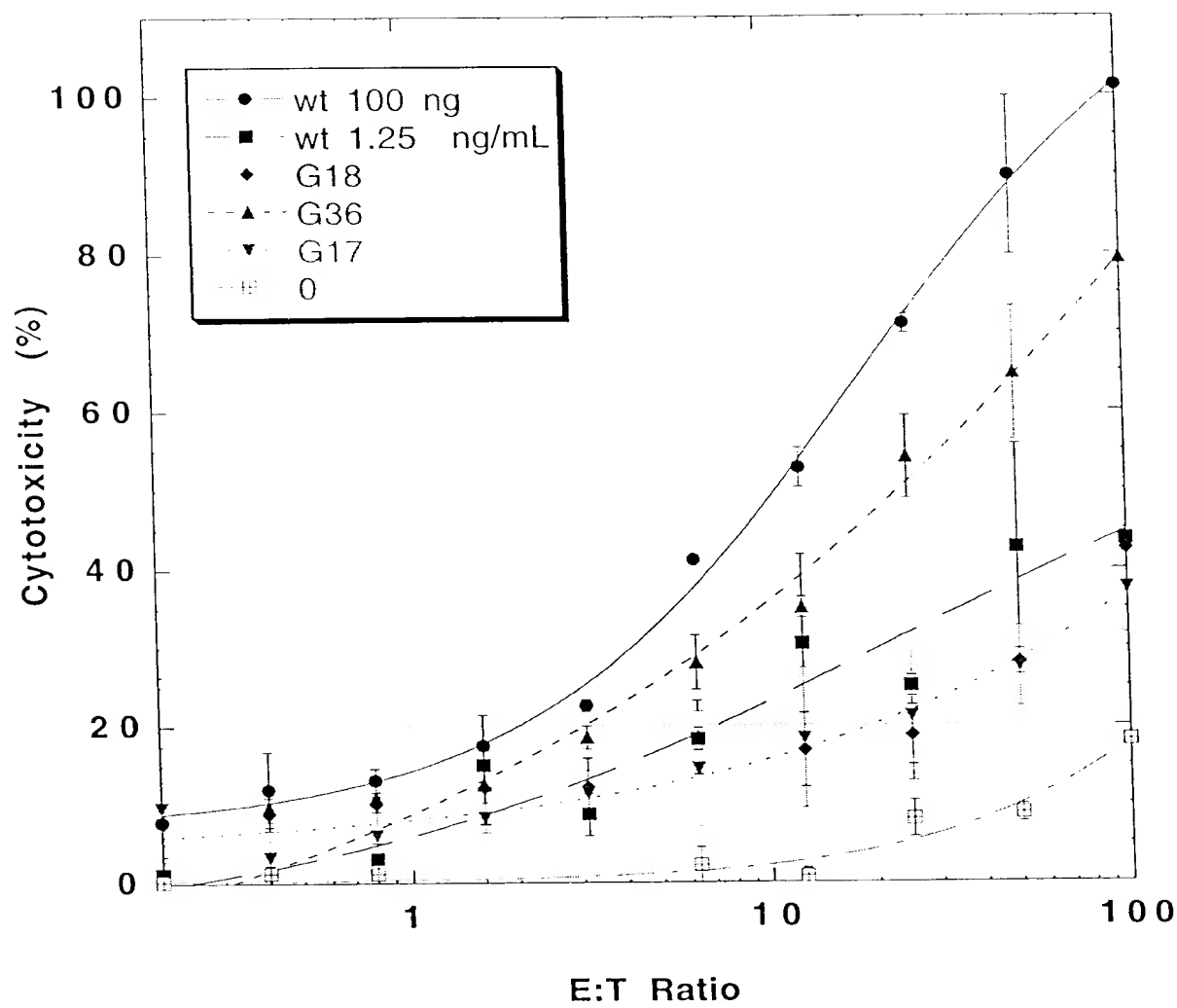


FIG. 21

	230	240	250	260	270
humIgG1	PAPELLGGPSVFLFPPKPEDTLMISRTPEVTCVVVDVSHEDPEVKFNWYV				
humIgG2	PAP-PVAGPSVFLFPPKPEDTLMISETPEVTCVVVDVSHEDPEVQFNWYV				
humIgG3	PAPELLGGPSVFLFPPKPEDTLMISETPEVTCVVVDVSHEDPEVQFNWYV				
humIgG4	PAPEFLGGPSVFLFPPKPEDTLMISETPEVTCVVVDVSHEDPEVQFNWYV				
murIgG1	--TVPEVSSVFI FPPKPEDVLTITLTPKVTCTVVVDISKDDPEVQFSWFV				
murIgG2A	PAPNLLGGPSVFI FPPKPEDVLMISLSPIVTCVVVDVSEDDPDVQISWFV				
murIgG2B	PAPNLEGGPSVFI FPPKPEDVLMISLTPKVTCTVVVDVSEDDPDVQISWFV				
murIgG3	PPGNILGGPSVFI FPPKPEDALMISLTPKVTCTVVVDVSEDDPDVHVSWFV				
	280	290	300	310	320
humIgG1	DGVEVHNAKTKPREEQYNSTYRVVSVLTVLHQDWLNGKEYKCKVSNFALP				
humIgG2	DGVEVHNAKTKPREEQFNSTFRVVSFLTVVHQDWLNGKEYKCKVSNFGLP				
humIgG3	DGVEVHNAKTKPREEQFNSTFRVVSFLTVLHQDWLNGKEYKCKVSNFALP				
humIgG4	DGVEVHNAKTKPREEQFNSTYRVVSVLTVLHQDWLNGKEYKCKVSNKGLP				
murIgG1	DDVEVHTAQTQPREEQFNSTFRSVSELPIMHQDCLNGKEFKCKVNSAAFP				
murIgG2A	NNVEVHTAQTQTHREDYINSTLRVVSALPIQHQDWMMSGKEFKCKVNIHDL				
murIgG2B	NNVEVHTAQTQTHREDYINSTIRVVSALPIQHQDWMMSGKEFKCKVNIHDL				
murIgG3	DNKEVHTAWTQPREAQYNSTFRVVSALPIQHQDWMRGKEFKCKVNNKALP				
	330	340	350	360	370
humIgG1	APIEKTISKAKGQPREPQVYTLPPSREEMTKNQVSLTCLVKGFYPSDIAV D L				
humIgG2	APIEKTISKTKGQPREPQVYTLPPSREEMTKNQVSLTCLVKGFYPSDIAV				
humIgG3	APIEKTISKAKGQPREPQVYTLPPSREEMTKNQVSLTCLVKGFYPSDIAV				
humIgG4	SSIEKTISKAKGQPREPQVYTLPPSQEEMTKNQVSLTCLVKGFYPSDIAV				
murIgG1	APIEKTISKTKGRPKAPQVYTIPPPKEQMAKDKVSLTCMITDFFPEDITV				
murIgG2A	APIERTISKPKGSVRAPQVYVLPPEEEMTKKQVTLTCMVTDFFMPEDIYV				
murIgG2B	SPIERTISKPKGLVRAPQVYTLPPPAEQLSRKDVSLTCLVVGFNPGDISV				
murIgG3	APIERTISKPKGRAQTFQVYTIPPPREQMSKKVSLTCLVTNFFSEAISV				
	380	390	400	410	420
humIgG1	EWESNGQPENNYKTTPPVLDSDGSFFLYSKLTVDKSRWQQGNVFSCSVMH				
humIgG2	EWESNGQPENNYKTTPPMLDSDGSFFLYSKLTVDKSRWQQGNVFSCSVMH				
humIgG3	EWESSGQPENNYNTTPPMLDSDGSFFLYSKLTVDKSRWQQGNIFSCSVMH				
humIgG4	EWZSNGQPENNYKTTPPVLDSDGSFFLYSRLTVDKSRWQEGNVFSCSVMH				
murIgG1	EWQWNGQPAENYKNTQPIMDTDGSYFVYSKLVQKSNWEAGNTFTCSVLH				
murIgG2A	EWTNNGKTELNYKNTEPVLDSDGSYFMYSKLRVEKKNWVERNSYSCSVH				
murIgG2B	EWTNNGHTEENYKDTAPVLDSDGSYFIYSKLVNMKTSKWEKTDSEFSCNVRH				
murIgG3	EWERNGELEQDYKNTPIILDSDGTYFLYSKLTVDVTDVSWLQGEIFTCSVH				
	430	440			
humIgG1	EALHNHYTQKSLSLSPGK				
humIgG2	EALHNHYTQKSLSLSPGK				
humIgG3	EALHNRFTQKSLSLSPGK				
humIgG4	EALHNHYTQKSLSLSPGK				
murIgG1	EGLHNHHTTEKSLSHSPGK				
murIgG2A	EGLHNHHTTKSFSRTPGK				
murIgG2B	EGLKNYYLKKTISRSPGK				
murIgG3	EALHNHHTQKNLSRSPGK				

FIG. 22A

Percent Identity Among Fc Sequences

	1	2	3	4	5	6	7	8
1. humIgG1	-	94	94	94	64	66	63	68
2. humIgG2		-	93	92	65	63	60	67
3. humIgG3			-	91	64	64	61	67
4. humIgG4				-	62	64	61	64
5. murIgG1					-	65	61	67
6. murIgG2A						-	77	70
7. murIgG2B							-	68
8. murIgG3								-

FIG. 22B

	230	240	250	260	270
humIgG1	PAPELILGGPSVFLFPPKPKDTLMISRTPEVTCVVVDVSHEDPEVFENWYV				
humIgG2	PAP-PVAGPSVFLFPPKPKDTLMISRTPEVTCVVVDVSHEDPEVQFNWYV				
humIgG3	PAPELILGGPSVFLFPPKPKDTLMISRTPEVTCVVVDVSHEDPEVQFEWYV				
humIgG4	PAPEFLGGPSVFLFPPKPKDTLMISRTPEVTCVVVDVSEQEDPEVQFNWYV				
	***			*	* *
	280	290	300	310	320
humIgG1	DGVEVHNAKTKPREEQYNSTYRVVSVLTVLHQDWLNGKEYKCKVSNKALP				
humIgG2	DGVEVHNAKTKPREEQFNSTFRVVSVLTVVHQDWLNGKEYKCKVSNKGLP				
humIgG3	DGVEVHNAKTKPREEQFNSTFRVVSVLTVLHQDWLNGKEYKCKVSNKALP				
humIgG4	DGVEVHNAKTKPREEQFNSTYRVVSVLTVLHQDWLNGKEYKCKVSNKGLP				
			*	*	*
	330	340	350	360	370
humIgG1	APIEKTISKAKGQPREPQVYTLPPSREEMTKNQVSLTCLVKGFYPSDIAV				
				D L	
humIgG2	APIEKTISKTKGQPREPQVYTLPPSREEMTKNQVSLTCLVKGFYPSDIAV				
humIgG3	APIEKTISKTKGQPREPQVYTLPPSREEMTKNQVSLTCLVKGFYPSDIAV				
humIgG4	SSIEKTISKAKGQPREPQVYTLPPSQEEMTKNQVSLTCLVKGFYPSDIAV				
	**	*		*	
	380	390	400	410	420
humIgG1	EWESNGQPENNYKTTTPVLDSDGSFFLYSKLTVDKSRWQQGNVFSQSVMH				
humIgG2	EWESNGQPENNYKTTTPMLDSDGSFFLYSKLTVDKSRWQQGNVFSQSVMH				
humIgG3	EWESSGQPENNYNTTTPMLDSDGSFFLYSKLTVDKSRWQQGNIFQSVMH				
humIgG4	EWESNGQPENNYKTTTPVLDSDGSFFLYSRLTVDKSRWQEGNVFSQSVMH				
	*	*	*	*	* *
	430	440			
humIgG1	EALHNHYTQKSLSLSPGK				
humIgG2	EALHNHYTQKSLSLSPGK				
humIgG3	EALHNRFTQKSLSLSPGK				
humIgG4	EALHNHYTQKSLSLSLGK				
	**		*		

FIG. 23

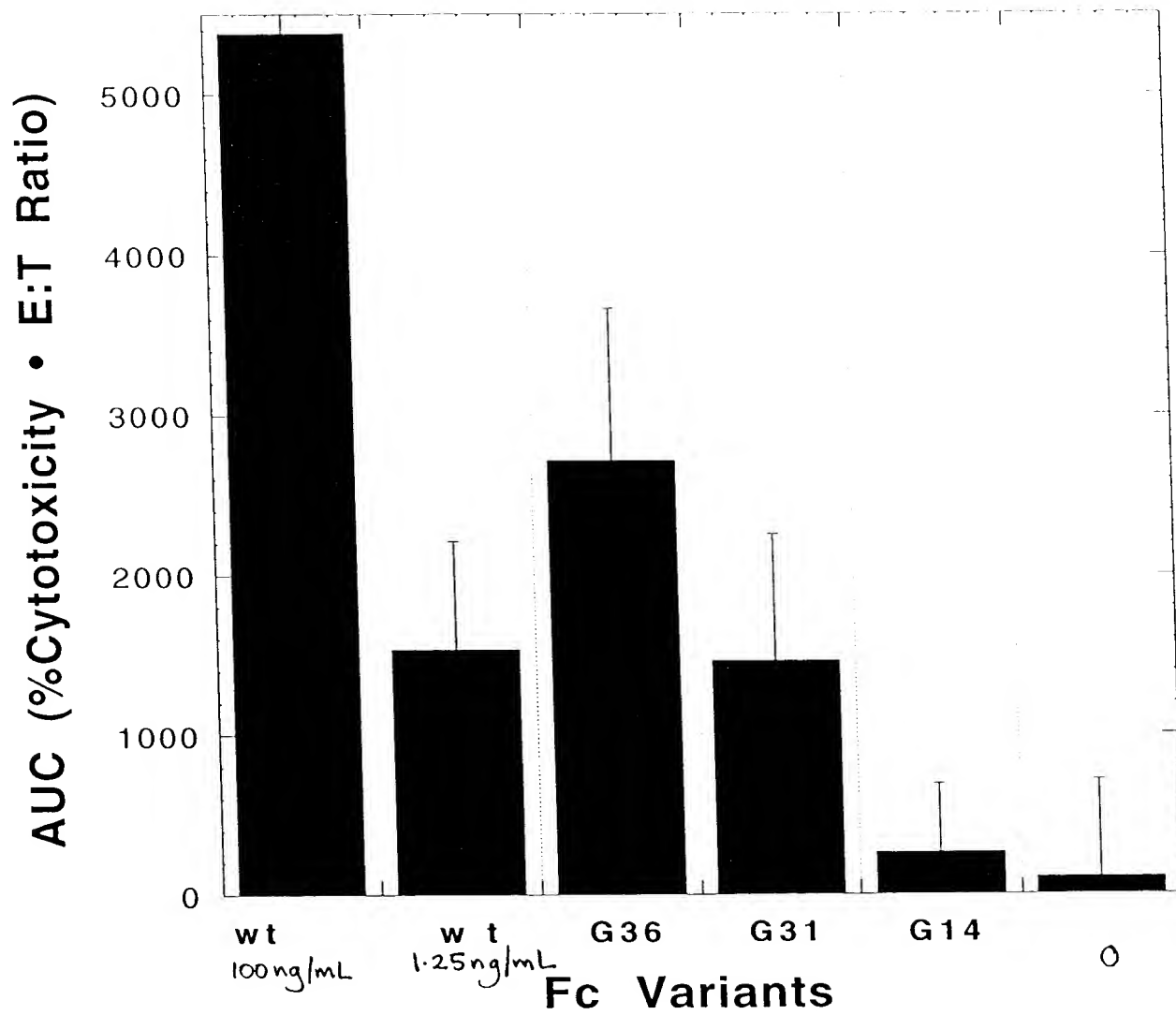


FIG. 24

A

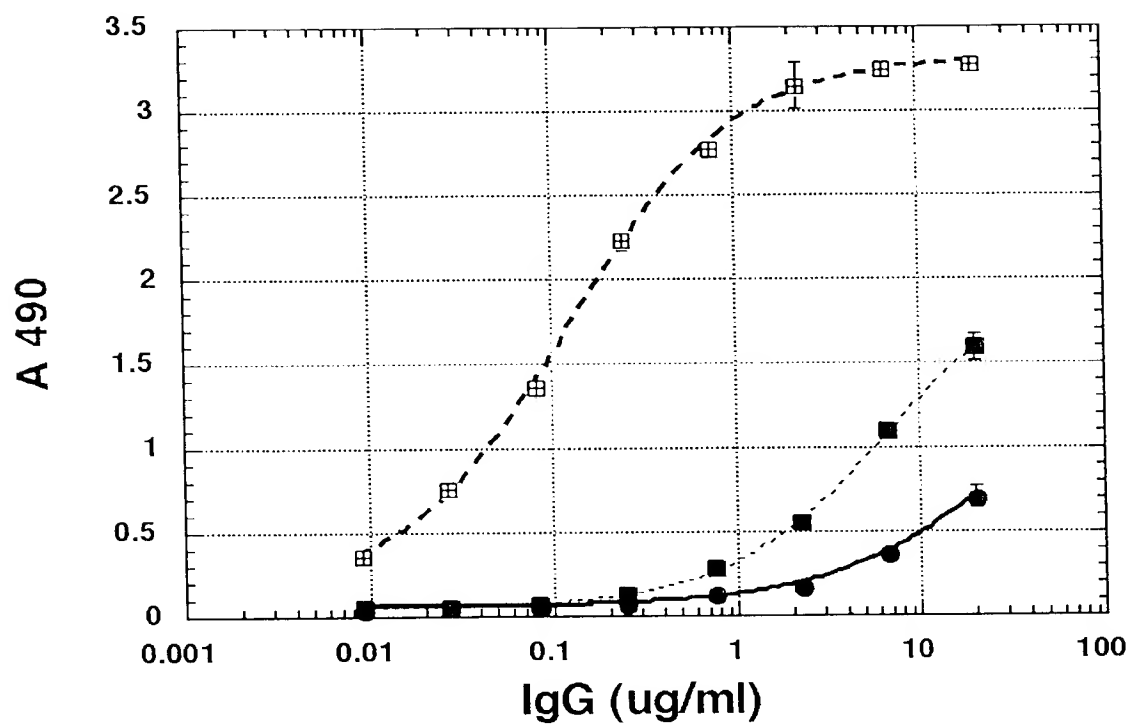


Fig. 25A

B

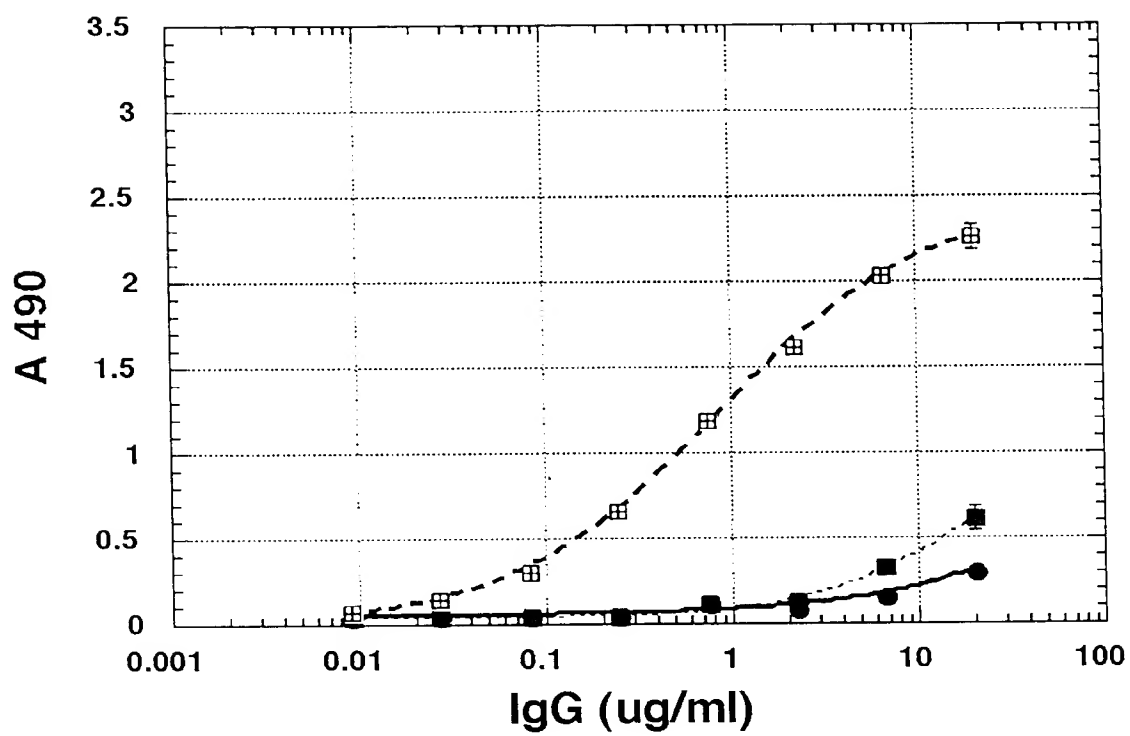


Fig. 25B

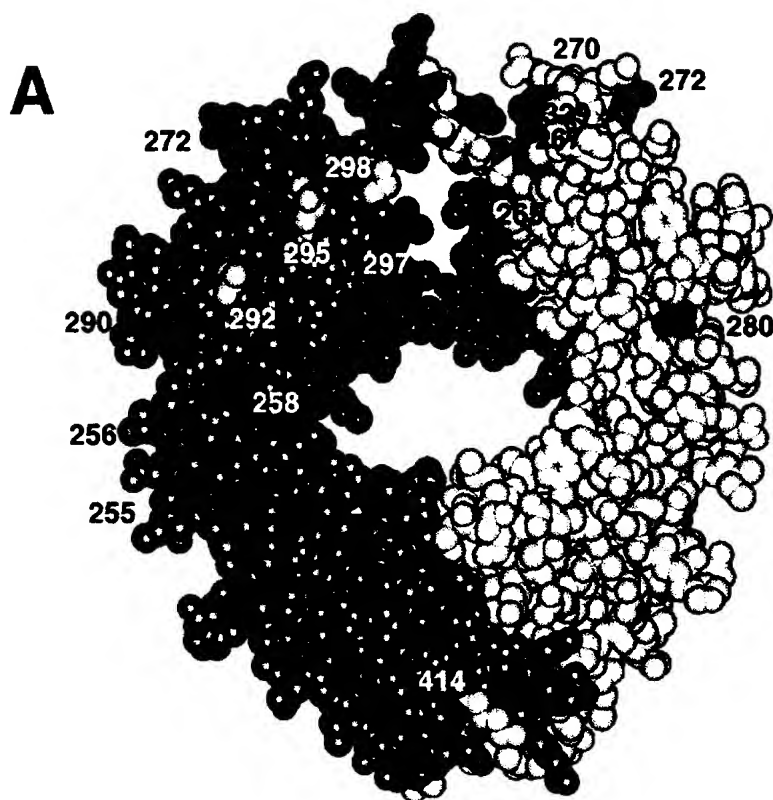


Fig. 26A

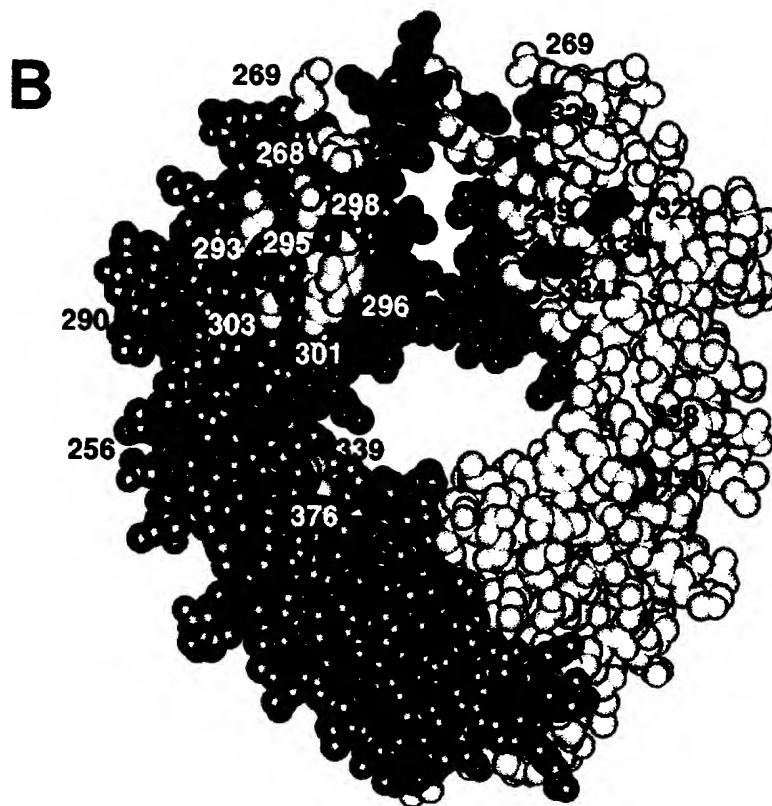


Fig. 26B

A

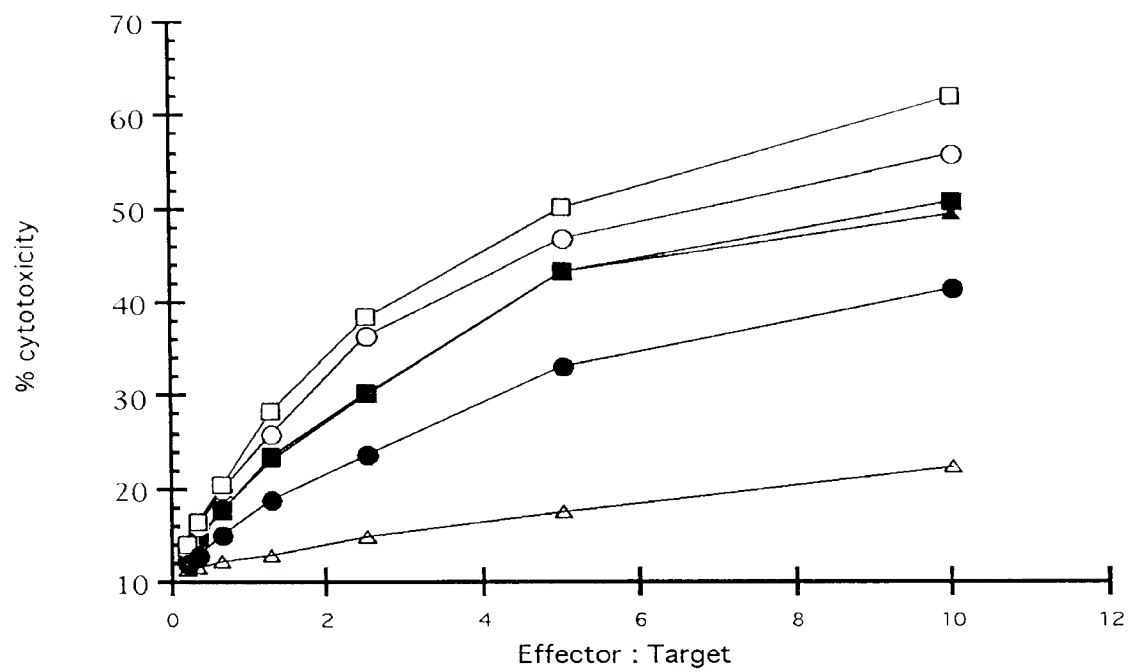


Fig. 27A

B

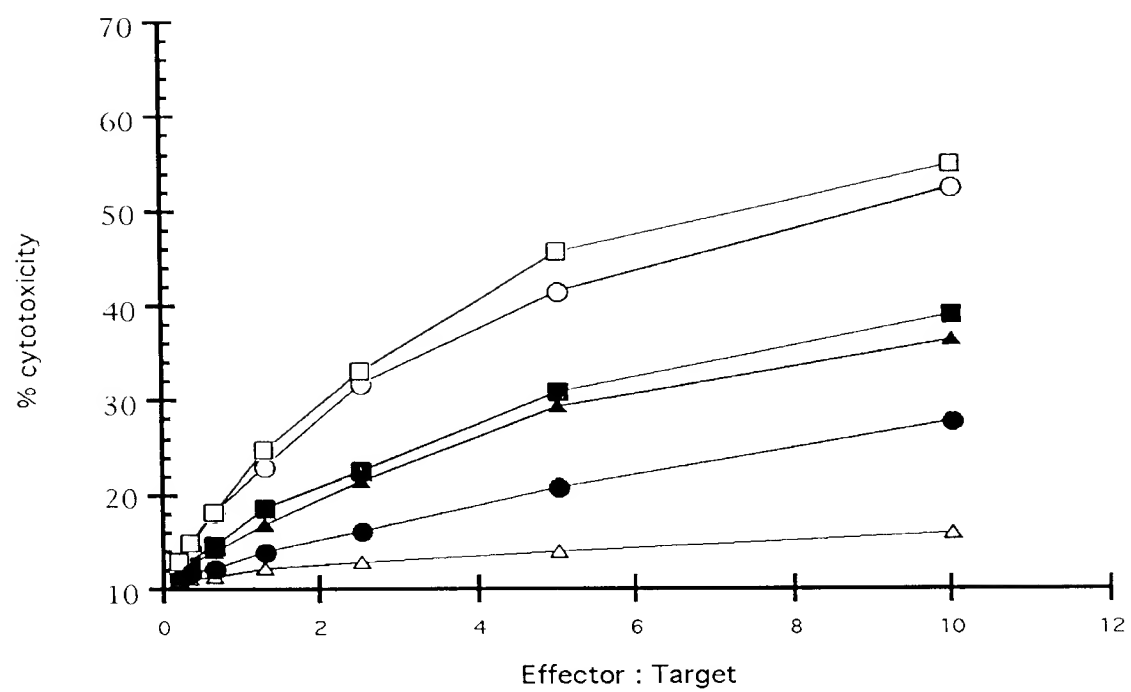


Fig. 27B

C

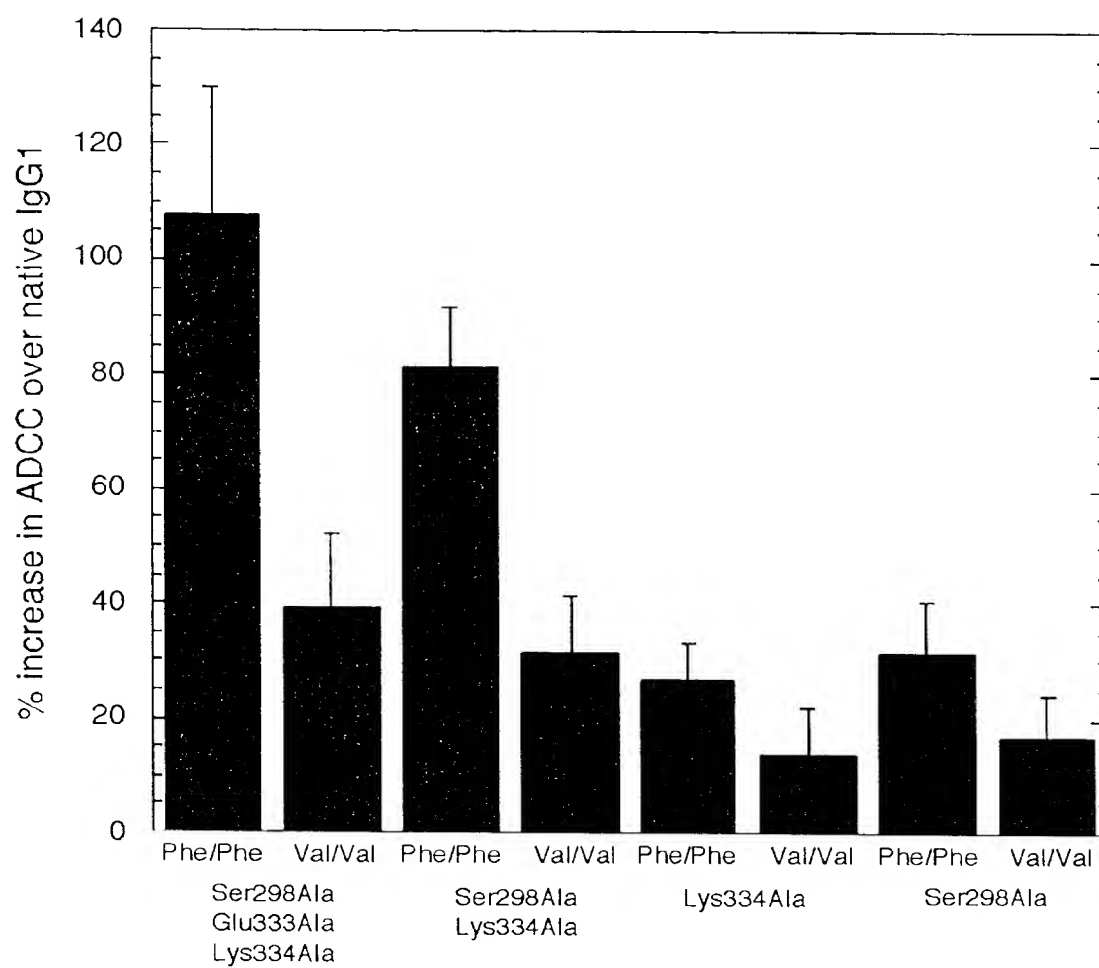


Fig. 27C